

FI 193 – Teoria Quântica de Sistemas de Muitos Corpos

2º Semestre de 2023

19/10/2023

Aula 19

Algumas aproximações clássicas

A aproximação Hartree-Fock

$$\hat{H}_0 = \int d^3x \hat{\psi}_\alpha^\dagger(\mathbf{x}) \left[-\frac{\hbar^2 \nabla^2}{2m} + U(\mathbf{x}) \right] \hat{\psi}_\alpha(\mathbf{x})$$

$$\hat{H}_1 = \frac{1}{2} \int d^3x d^3x' \hat{\psi}_\alpha^\dagger(\mathbf{x}) \hat{\psi}_\beta^\dagger(\mathbf{x}') V(\mathbf{x} - \mathbf{x}') \hat{\psi}_\beta(\mathbf{x}') \hat{\psi}_\alpha(\mathbf{x})$$

TÉCNICA COMUM DE CÁLCULO DE EST. ELETRÔNICA.

$$\underline{\Psi}(x_1, x_2, \dots, x_N) = \begin{vmatrix} \psi_1(x_1) & \psi_1(x_2) & \psi_1(x_3) & \dots & \psi_1(x_N) \\ \psi_2(x_1) & \psi_2(x_2) & \dots & \dots & \vdots \\ \vdots & \vdots & \vdots & \vdots & \vdots \\ \psi_N(x_1) & \psi_N(x_2) & \dots & \dots & \psi_N(x_N) \end{vmatrix}$$

FUNÇÃO DE ONDA ANTISIMETRIZADA PARA N FÉRMIONS
OCUPANDO N ORBITAIS DE PARTÍCULA ÚNICA.

COMO OTIMIZAR PARA A MELHOR ESCOLHA DOS ORBITAIS.

$$\langle H \rangle = \langle \Psi | H | \Psi \rangle \quad \text{SUJEITO A} \quad \langle \Psi | \Psi \rangle = 1$$

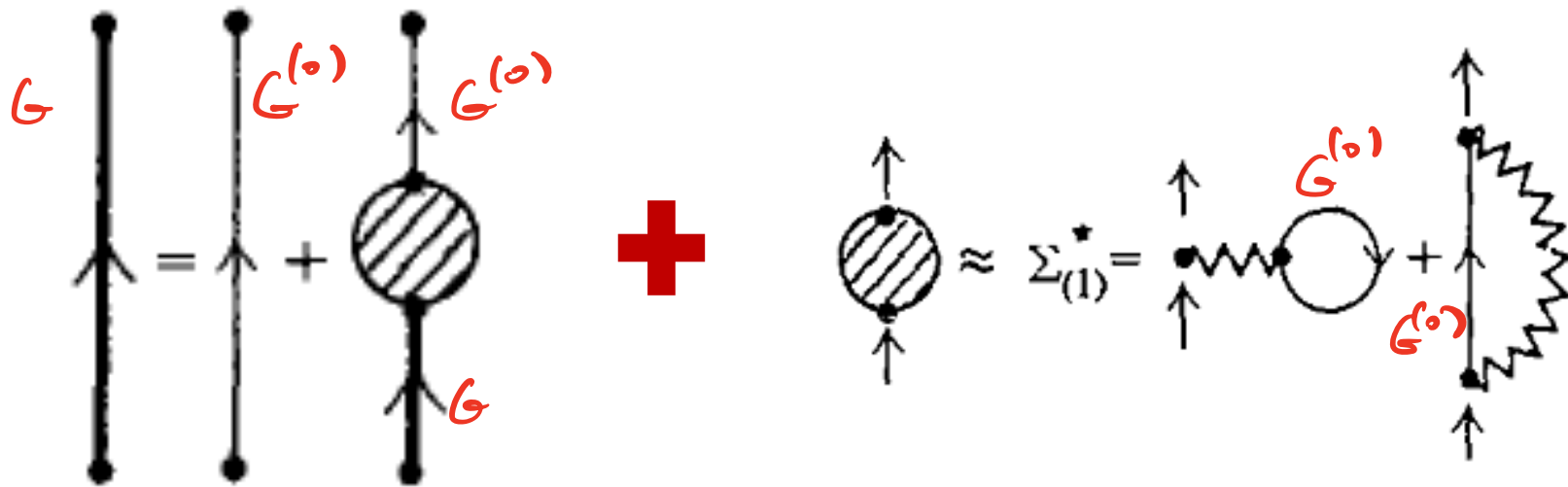
$$\frac{\delta \langle H \rangle}{\delta \psi_i(x_i)} = 0 \quad \Rightarrow \quad \text{EQS. HARTREE-FOCK.}$$

Equações Hartree-Fock

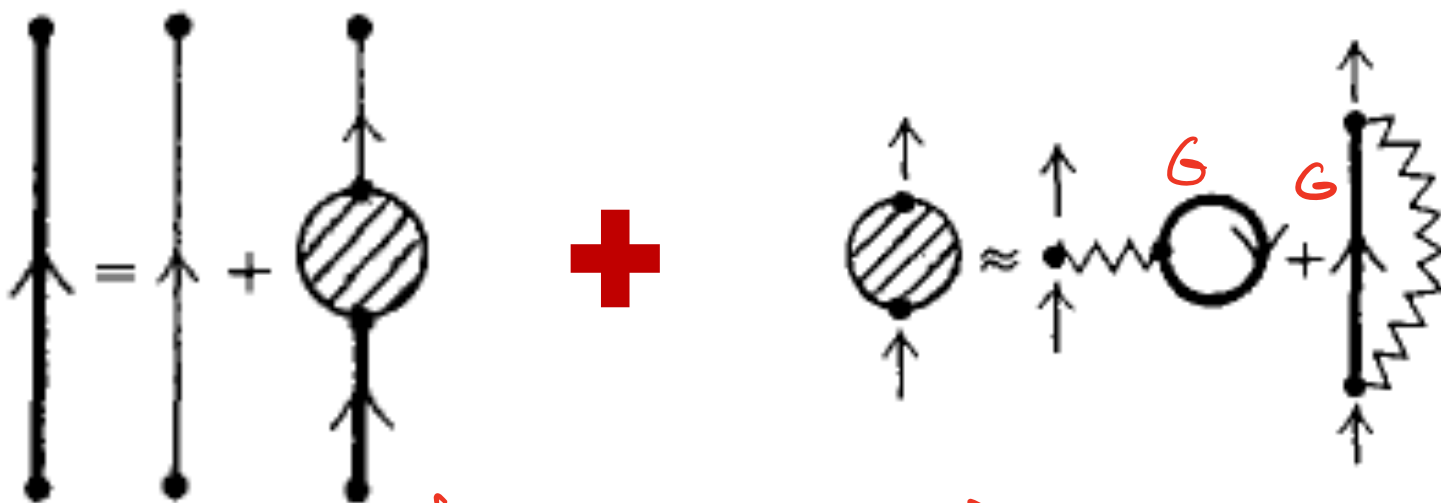
Equações auto-consistentes:

$$\begin{aligned} & \left[-\frac{\hbar^2 \nabla_1^2}{2m} + U(\mathbf{x}_1) \right] \varphi_i(\mathbf{x}_1) + \\ & \sum_j \left[\int d^3x_2 V(\mathbf{x}_1 - \mathbf{x}_2) |\varphi_j(\mathbf{x}_2)|^2 \theta(E_F - \epsilon_j) \right] \varphi_i(\mathbf{x}_1) - \\ & \sum_j \left[\int d^3x_2 V(\mathbf{x}_1 - \mathbf{x}_2) \varphi_j^*(\mathbf{x}_2) \varphi_i(\mathbf{x}_2) \theta(E_F - \epsilon_j) \right] \varphi_j(\mathbf{x}_1) = \epsilon_i \varphi_i(\mathbf{x}_1) \end{aligned}$$

Auto-energia em primeira ordem:

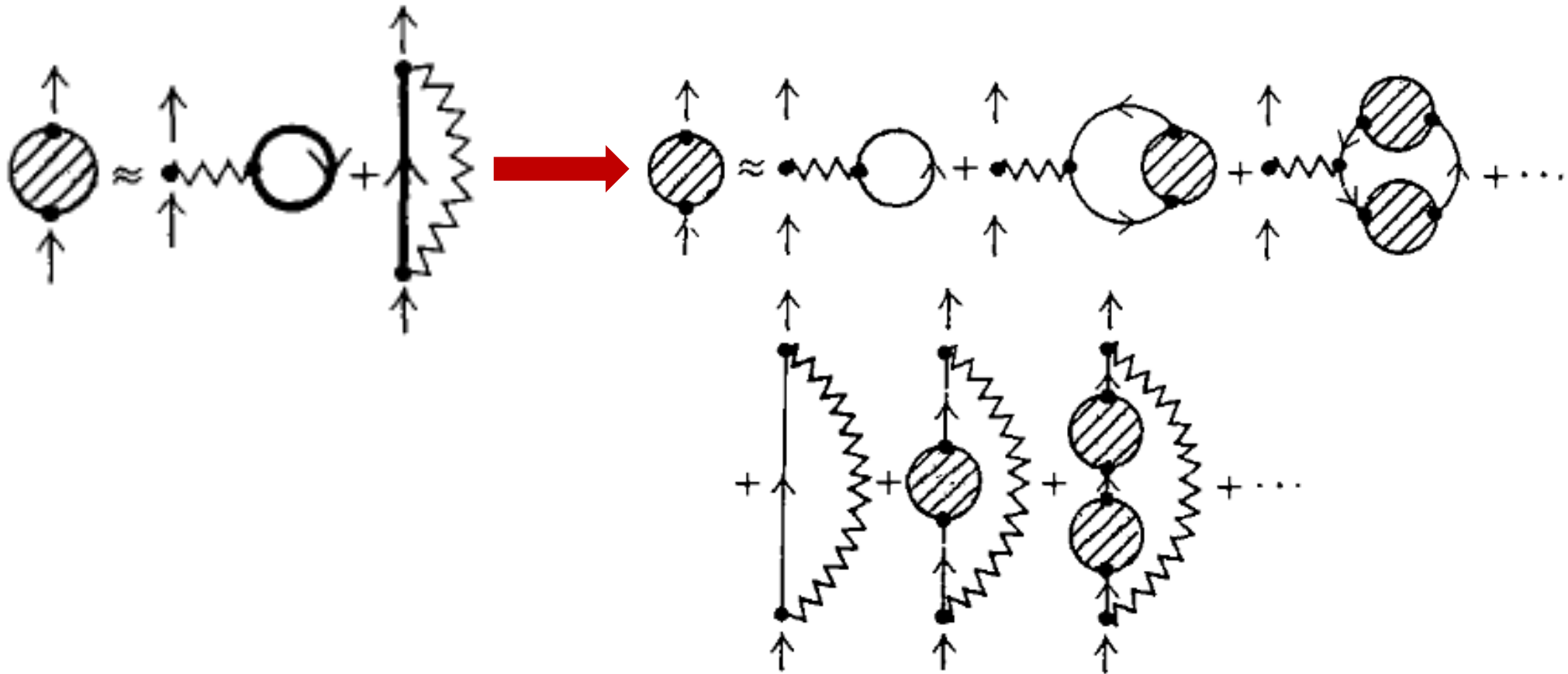


Aproximação Hartree-Fock: auto-consistência



ESSE SISTEMA É EQUIVALENTE ÀS EQS. H-F (F+W, P. 121-127)

Aproximação Hartree-Fock: infinitas ordens incluídas na auto-energia



Férmions num potencial externo

$$\hat{H}_0 = \int d^3x \hat{\psi}_\alpha^\dagger(\mathbf{x}) \left[-\frac{\hbar^2 \nabla^2}{2m} + U(\mathbf{x}) \right] \hat{\psi}_\alpha(\mathbf{x})$$

$$\hat{H}_1 = \frac{1}{2} \int d^3x d^3x' \hat{\psi}_\alpha^\dagger(\mathbf{x}) \hat{\psi}_\beta^\dagger(\mathbf{x}') V(\mathbf{x} - \mathbf{x}') \hat{\psi}_\beta(\mathbf{x}') \hat{\psi}_\alpha(\mathbf{x})$$

Ver desenvolvimento no Fetter & Walecka, pags. 121-127

$$\left[-\frac{\hbar^2 \nabla_1^2}{2m} + U(\mathbf{x}_1) \right] \varphi_j(\mathbf{x}_1) + \int d^3x_2 \hbar \Sigma^*(\mathbf{x}_1, \mathbf{x}_2) \varphi_j(\mathbf{x}_2) = \epsilon_j \varphi_j(\mathbf{x}_1)$$

$$\begin{aligned} \hbar \Sigma^*(\mathbf{x}_1, \mathbf{x}_1') &= \delta(\mathbf{x}_1 - \mathbf{x}_1') \int d^3x_2 V(\mathbf{x}_1 - \mathbf{x}_2) n(\mathbf{x}_2) \\ &\quad - V(\mathbf{x}_1 - \mathbf{x}_1') \sum_j \varphi_j(\mathbf{x}_1) \varphi_j(\mathbf{x}_1')^* \theta(\epsilon_F - \epsilon_j) \end{aligned}$$



$$\begin{aligned} &\left[-\frac{\hbar^2 \nabla_1^2}{2m} + U(\mathbf{x}_1) \right] \varphi_i(\mathbf{x}_1) + \\ &\sum_j \left[\int d^3x_2 V(\mathbf{x}_1 - \mathbf{x}_2) |\varphi_j(\mathbf{x}_2)|^2 \theta(E_F - \epsilon_j) \right] \varphi_i(\mathbf{x}_1) - \\ &\sum_j \left[\int d^3x_2 V(\mathbf{x}_1 - \mathbf{x}_2) \varphi_j^*(\mathbf{x}_2) \varphi_i(\mathbf{x}_2) \theta(E_F - \epsilon_j) \right] \varphi_j(\mathbf{x}_1) = \epsilon_i \varphi_i(\mathbf{x}_1) \end{aligned}$$

Sistema homogêneo

SE $U(\vec{x}) = 0$. A BASE DE ONDAS PLANAS SEMPRE RESOLVE O PROBLEMA HOMOGENEO.

LEVANDO: $\varphi_i(\vec{x}) = \frac{e^{i\vec{k}_i \cdot \vec{r}}}{\sqrt{V}}$ NA AUTO-ENERGIA $\Sigma(k_1, k_2)$

RECUPERAMOS: $\Sigma^{(L)}(\vec{k})$ JÁ VISTA.

O gás de elétrons de alta densidade: a "random phase approximation" (RPA)

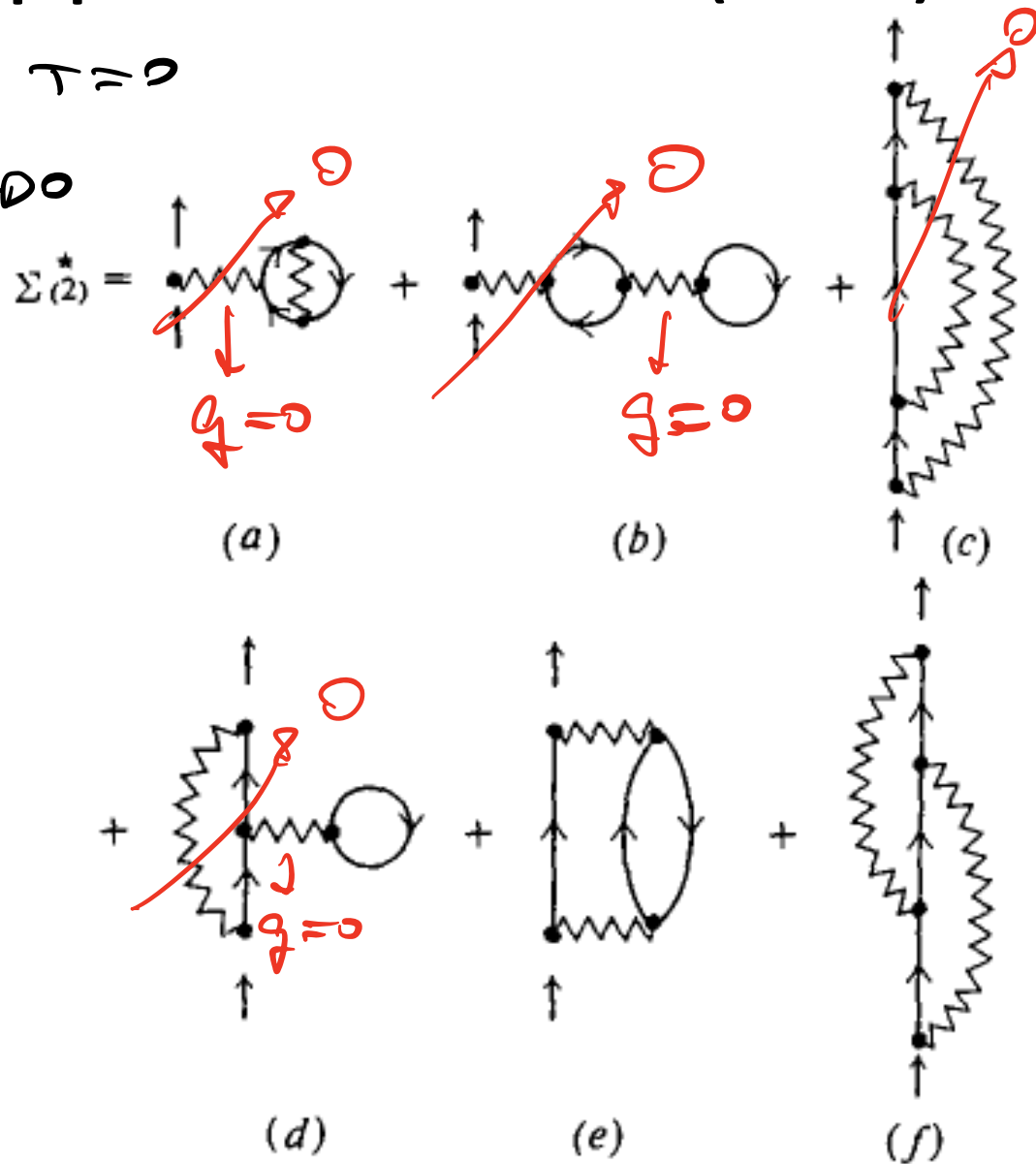
O GÁS DE ELÉTRONS EM $T=0$
É UNICAMENTE DETERMINADO
POR SUA DENSIDADE:

$$\frac{N}{V} = \frac{k_F^3}{3\pi^2}$$

$$\frac{4}{3}\pi(n_s a_0)^3 = \frac{V}{N} = \frac{3\pi^2}{k_F^3}$$

ALTA DENSIDADE: $n_s \ll 1$

$$\Rightarrow k_F \sim n_s^{-1/3}$$

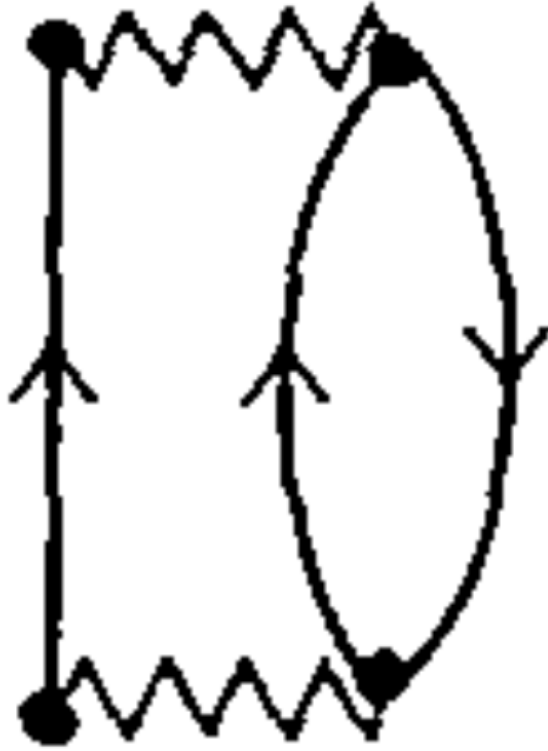




$$\Sigma^{(2a)}(\vec{k}, \omega) = 2 \int \frac{d^3q d^3p dv d\epsilon}{(2\pi)^8} \frac{(4\pi e^2)^2}{g^4} G^{(0)}(\vec{k} - \vec{q}, \omega - \epsilon)$$

$$G^{(0)}(\vec{p}, y) G^{(0)}(\vec{p} + \vec{q}, y + \epsilon)$$

A INTEGRAÇÃO SOBRE y, ϵ, ϵ'
IMEDIATA

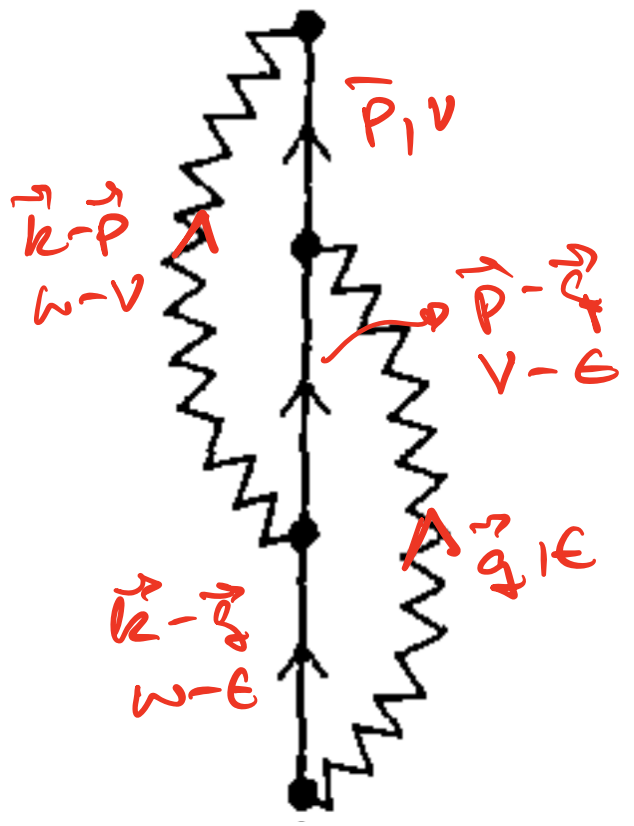


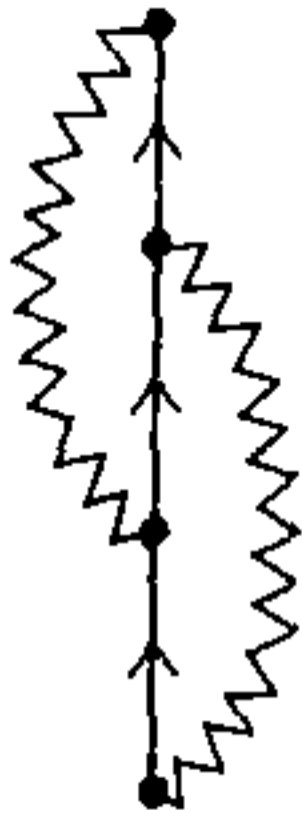
$$\Sigma^{(2a)}(\omega, \mathbf{k}) = 2 \int \frac{d^3q d^3p}{(2\pi)^6} \left(\frac{4\pi e^2}{q^2} \right)^2 \left[\frac{\theta(|\mathbf{k} - \mathbf{q}| - k_F) \theta(|\mathbf{p} + \mathbf{q}| - k_F) \theta(k_F - p)}{\omega - \epsilon(\mathbf{k} - \mathbf{q}) - \epsilon(\mathbf{p} + \mathbf{q}) + \epsilon(\mathbf{p}) + i\eta} \right. \\ \left. + \frac{\theta(k_F - |\mathbf{k} - \mathbf{q}|) \theta(k_F - |\mathbf{p} + \mathbf{q}|) \theta(p - k_F)}{\omega - \epsilon(\mathbf{k} - \mathbf{q}) - \epsilon(\mathbf{p} + \mathbf{q}) + \epsilon(\mathbf{p}) - i\eta} \right]$$

$$\Sigma^{(2b)}(\vec{k}, \omega) = - \int d^3q d^3p dv d\epsilon \frac{(4\pi e^2)^2}{(2\pi)^8} \frac{1}{q^2 (\vec{k}-\vec{p})^2}$$

$$G^{(0)}(\vec{k}-\vec{q}, \omega-\epsilon) G^{(0)}(\vec{p}, \nu) G^{(0)}(\vec{p}-\vec{q}, \nu-\epsilon)$$

INTEGRA-SE SOBRE ν ϵ





$$\begin{aligned}
 \Sigma^{(2b)}(\omega, \mathbf{k}) = & \int \frac{d^3q d^3p}{(2\pi)^6} \frac{(4\pi e^2)^2}{q^2 |\mathbf{k} - \mathbf{p}|^2} \left[\frac{\theta(k_F - |\mathbf{k} - \mathbf{q}|) \theta(|\mathbf{p} - \mathbf{q}| - k_F) \theta(k_F - p)}{\omega - \epsilon(\mathbf{k} - \mathbf{q}) + \epsilon(\mathbf{p} - \mathbf{q}) - \epsilon(\mathbf{p}) + i\eta} \right. \\
 & \left. + \frac{\theta(|\mathbf{k} - \mathbf{q}| - k_F) \theta(k_F - |\mathbf{p} - \mathbf{q}|) \theta(p - k_F)}{\omega - \epsilon(\mathbf{k} - \mathbf{q}) + \epsilon(\mathbf{p} - \mathbf{q}) - \epsilon(\mathbf{p}) - i\eta} \right]
 \end{aligned}$$

Graus de divergência

NOS 2 DIAGRAMAS $\Sigma^{(2a)}$, $\Sigma^{(2b)}$ O TERMO ENTRE COLCHETES É FINITO QUANDO $q \rightarrow 0$ (VAMOS MOSTRAR ISSO MAIS TARDE)

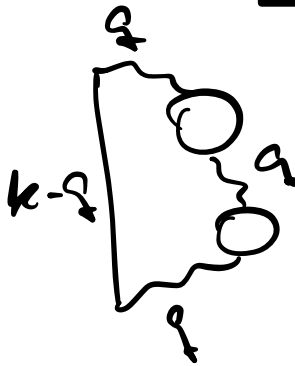
ASSIM:

$$\Sigma^{(2a)} \sim \int \frac{d^3 q}{q^4} \sim \int \frac{q^2 dq}{q^4} \sim \int \frac{dq}{q^2} \xrightarrow{q \rightarrow 0} \infty \Rightarrow$$

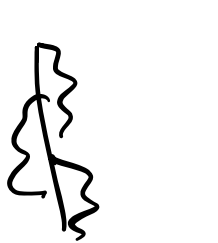
$$\Sigma^{(2b)} \sim \int \frac{d^3 q}{q^2} \sim \int dq < \infty \xrightarrow{q \rightarrow 0}$$



Em 3ª ordem de T. de Pert.

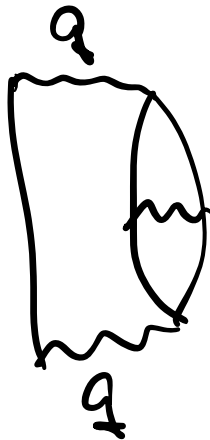


$$\sim \int \frac{d^3 q}{q^6} \sim \int \frac{dq}{q^4} \rightarrow \infty$$



$$\sim \int \frac{d^3 q}{q^2} < \infty$$

ETC.



$$\sim \int \frac{d^3 q}{q^4} \sim \int \frac{dq}{q^2} \rightarrow \infty$$

CLARAMENTE, EM ORDENS SUPERIORES, AS DIVERGÊNCIAS

MAIS SEVERAS VIRÃO DE: 

Análise dimensional

$$G^{(2)} \sim \frac{1}{\omega - \epsilon_k} \sim \frac{1}{k_F^2}$$

$$v(\epsilon) \sim \frac{1}{k_F^2}$$

$$\int d^4 q \sim \int d^3 q dv \sim k_F^5$$

$$2^{\text{a}} \text{ ORDEM: } [G^{(0)}]^3 v^2 \int d^4 q d^4 p \sim k_F^{-6} k_F^{-4} k_F^{10} \sim (k_F)^0 \sim (\Lambda_S)^0$$

$$3^{\text{a}} \text{ ORDEM: } (2^{\text{a}} \text{ ORDEM}) v [G^{(0)}]^2 \int d^4 q \sim k_F^{-2} k_F^{-4} k_F^5 \sim k_F^{-1} \sim \Lambda_S$$

UMA ORDEM A MAIS INTRODUZ MAIS UMA

POTÊNCIA DE Λ_S

$$N^{\text{a}} \text{ ORDEM: } (\Lambda_S)^{N-2}$$

- VAMOS QUERER INCLUIR OS DIAGRAMAS COM MAIOR GRAU DE DIVERGÊNCIA E MENORES POTÊNCIAS DE Λ_S (NO LIMITE DE ALTA DENSIDADE)

Ordem em teoria de perturbação

$\Sigma_\sigma(\tilde{k})$	$n = 1$	$n = 2$	$n = 3$	$n = 4$
$\delta = 1$				
$\delta = 2$	—			
$\delta = 3$	—	—		
$\delta = 4$	—	—	—	

NÃO
DIVERGENTES

$\int \frac{d^4q}{q^2}$
Grau de diverg.
(δ)

Linha de SER
MANTIDA

A auto-energia em alta densidade

$$\Sigma^{\Delta D} = \text{diagrama} + \Sigma^{\text{RPA}}$$

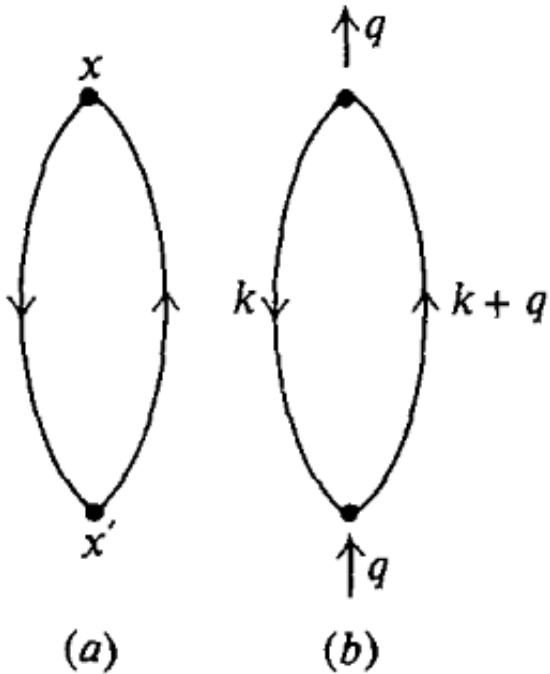
$$\Sigma^{\text{RPA}} = \text{diagrama} + \text{diagrama} + \text{diagrama} + \dots$$

$$\text{diagrama} = \text{diagrama} + \text{diagrama} + \dots$$

$$U^R(q) = \frac{U(q)}{1 - U(q)\pi^{(0)}(q)} = \frac{4\pi e^2 / q^2}{1 - \frac{4\pi e^2}{q^2} \pi^{(0)}(q)} = \frac{4\pi e^2}{q^2 - 4\pi e^2 \pi^{(0)}(q)}$$

$$\pi^{(0)}(q) = \text{diagrama} = -2i \int \frac{d^3k d\omega}{(2\pi)^4} G^{(0)}(\vec{k}, \omega) G^{(0)}(\vec{k} + \vec{q}, \omega + \nu)$$

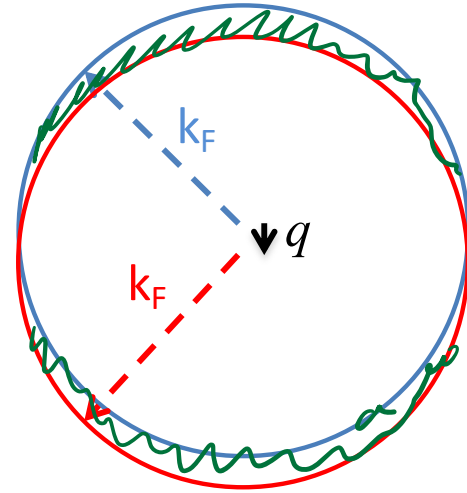
A função de Lindhard



$$\begin{aligned} \Pi^0(\mathbf{q}, \nu) &= -2i \int \frac{d^3k d\omega}{(2\pi)^4} G^{(0)}(\mathbf{k}, \omega) G^{(0)}(\mathbf{k} + \mathbf{q}, \omega + \nu) \\ &= 2 \int \frac{d^3k}{(2\pi)^3} \left[\frac{\theta(k_F - k) \theta(|\mathbf{k} + \mathbf{q}| - k_F)}{\nu + \epsilon(\mathbf{k}) - \epsilon(\mathbf{k} + \mathbf{q}) + i\eta} - \frac{\theta(k - k_F) \theta(k_F - |\mathbf{k} + \mathbf{q}|)}{\nu + \epsilon(\mathbf{k}) - \epsilon(\mathbf{k} + \mathbf{q}) - i\eta} \right] \end{aligned}$$

A função de Lindhard no limite estático

$$\Pi^0(\mathbf{q}, 0) = 2 \int \frac{d^3 k}{(2\pi)^3} \left[\frac{\theta(k_F - k) \theta(|\mathbf{k} + \mathbf{q}| - k_F)}{\epsilon(\mathbf{k}) - \epsilon(\mathbf{k} + \mathbf{q}) + i\eta} - \frac{\theta(k - k_F) \theta(k_F - |\mathbf{k} + \mathbf{q}|)}{\epsilon(\mathbf{k}) - \epsilon(\mathbf{k} + \mathbf{q}) - i\eta} \right]$$



$q \ll k_F$:

$$\epsilon(\mathbf{k}) - \epsilon(\mathbf{k} + \mathbf{q}) = \frac{k^2}{2m} - \frac{|\vec{k} + \vec{q}|^2}{2m} = -\frac{\vec{k} \cdot \vec{q}}{m}$$

$$\theta(k - k_F) \theta(k_F - |\vec{k} + \vec{q}|) \approx \delta(k - k_F) (-q \cos \theta) \quad \left(\frac{\pi}{2} < \theta < \pi \right)$$

$$\theta(k_F - k) \theta(|\vec{k} + \vec{q}| - k_F) \approx \delta(k - k_F) q \cos \theta \quad \left(0 < \theta < \frac{\pi}{2} \right)$$

$$\begin{aligned} \Pi^{(0)}(\vec{q}, 0) &= 2 \int \frac{d^3 k}{(2\pi)^3} \frac{\delta(k - k_F) q \cos \theta}{-k_F q \cos \theta / m} = -\frac{2m k_F}{4\pi^2} \times 2 = -\frac{m k_F}{\pi^2} \\ &= -\rho(E_F) \end{aligned}$$

$2\pi k^2 dk d(\cos \theta)$

$$U^R(\vec{q}) = \frac{4\pi e^2}{q^2 - 4\pi e^2 \left(-\frac{mk_F}{\pi^2}\right)} = \frac{4\pi e^2}{q^2 + q_{TF}^2}$$

$$q_{TF}^2 = 4\pi e^2 g_F = \frac{4e^2 mk_F}{\pi} = \left(\frac{4}{\pi}\right) \left(\frac{4}{9\pi}\right)^{1/3} r_s k_F^2 \approx 0.66 r_s k_F^2$$

$q_{TF} = \sqrt{0.66 r_s} k_F =$ VETOR DE ONDA DE THOMAS-FERMI

$$U^R(r) = \frac{e^2}{r} e^{-q_{TF} r}$$

BLINDAGEM DE THOMAS-FERMI

Gás de elétrons

LEVANDO $U^R(q)$ EM Σ^{RPA}

$$\tilde{\epsilon}(k) = \frac{k_F}{m} (k - k_F)$$

$$\frac{m^*}{m} = 1 + 0.083 r_s (\ln r_s + 0.203)$$

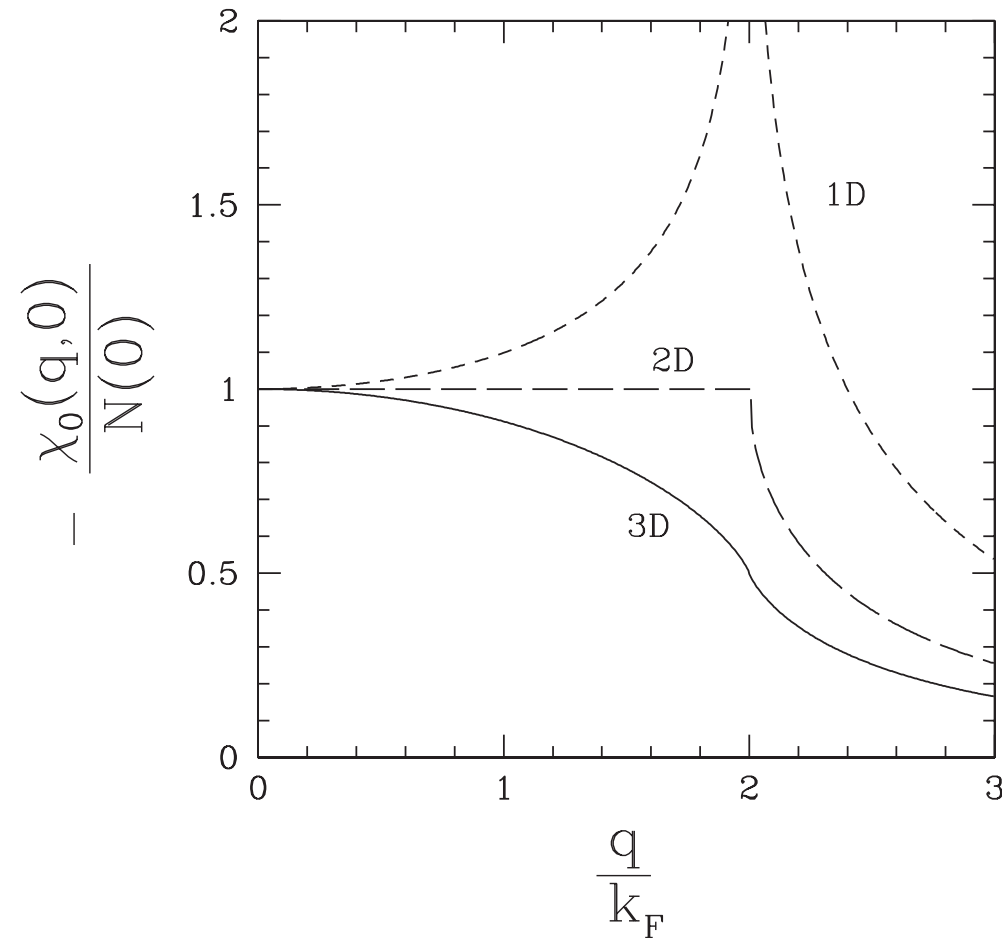
$$2\gamma_k = \frac{1}{\tau_k} = 0.252 \sqrt{r_s} \frac{(k - k_F)^2}{2m}$$

$$\frac{\epsilon(r_s)}{Ry} \simeq \begin{cases} \left(\frac{2.210}{r_s^2} - \frac{0.916}{r_s} + 0.062 \ln r_s - 0.093 + \mathcal{O}(r_s \ln r_s) \right) Ry, & (3D), \\ \left(\frac{1}{r_s^2} - \frac{1.20}{r_s} - (0.38 \pm 0.04) - 0.1726 r_s \ln r_s + \mathcal{O}(r_s) \right) Ry, & (2D). \end{cases}$$

Função de Lindhard no limite estático

Table 4.2. *Explicit expressions for $\chi_{0\sigma}(q, 0)$ – the static limit of the one-spin Lindhard function. Here $\bar{q}_\sigma = \frac{q}{k_{F\sigma}}$. The corresponding Fourier transforms are given in Table 4.3.*

d	$\chi_{0\sigma}(q, 0)$
3	$-N_\sigma(0) \left[\frac{1}{2} + \frac{\bar{q}_\sigma^2 - 4}{8\bar{q}_\sigma} \ln \left \frac{\bar{q}_\sigma - 2}{\bar{q}_\sigma + 2} \right \right]$
2	$-N_\sigma(0) \left[1 - \Theta(\bar{q}_\sigma - 2) \frac{\sqrt{\bar{q}_\sigma^2 - 4}}{\bar{q}_\sigma} \right]$
1	$-N_\sigma(0) \left[\frac{1}{\bar{q}_\sigma} \ln \left \frac{\bar{q}_\sigma + 2}{\bar{q}_\sigma - 2} \right \right]$



Quantum theory of the electron liquid,

Gabriele Giuliani, Giovanni Vignale, Cambridge University Press, 2005.